

DOI: 10.3969/j.issn.1005-8982.2021.13.005
文章编号: 1005-8982(2021)13-0023-07

肿瘤研究与临床专题·论著

幽门螺杆菌感染性胃癌组织 microRNA-17、 microRNA-490-3p的表达及其与 临床病理特征和预后的关系

李丽萍, 贾筠

(东莞市人民医院 肿瘤内科, 广东 东莞 523000)

摘要: 目的 探讨幽门螺杆菌(Hp)感染性胃癌组织 microRNA-17 (miR-17)、microRNA-490-3p (miR-490-3p) 的表达及其与临床病理特征和预后的关系。**方法** 选取2012年1月—2014年6月东莞市人民医院收治的146例 Hp 阳性及阴性胃癌患者的癌组织及癌旁组织。实时荧光定量聚合酶链反应(qRT-PCR)检测癌组织及癌旁组织中 miR-17、miR-490-3p 的表达。分析 Hp 阳性胃癌患者癌组织 miR-17、miR-490-3p 表达与临床病理特征的关系; Kaplan-Meier 生存曲线评估 miR-17、miR-490-3p 表达与 Hp 阳性胃癌患者术后5年生存率的关系; Cox 回归模型分析影响 Hp 阳性胃癌患者预后的危险因素。**结果** Hp 阳性及阴性胃癌患者的癌组织中 miR-17 mRNA 相对表达量高于癌旁组织 ($P < 0.05$)，miR-490-3p mRNA 相对表达量低于癌旁组织 ($P < 0.05$)。经 Pearson 相关分析, miR-17 和 miR-490-3p 在不同胃癌组织中的表达无相关性 ($P > 0.05$)。不同肿瘤直径、淋巴结转移、远处转移及 TNM 分期的 Hp 阳性胃癌患者癌组织 miR-17 mRNA 相对表达量比较, 差异有统计学意义 ($P < 0.05$)；不同肿瘤直径、淋巴结转移及远处转移的 Hp 阳性胃癌患者癌组织 miR-490-3p mRNA 相对表达量比较, 差异有统计学意义 ($P < 0.05$)。Kaplan-Meier 生存分析表明, miR-17 高表达 Hp 阳性胃癌组、miR-490-3p 低表达 Hp 阳性胃癌组术后5年生存率均分别低于 miR-17 低表达 Hp 阳性胃癌组、miR-490-3p 高表达 Hp 阳性胃癌组 ($P < 0.05$)。有远处转移、较高的 TNM 分期、miR-17 高表达、miR-490-3p 低表达是影响 Hp 阳性胃癌患者预后的危险因素 ($P < 0.05$)。**结论** Hp 阳性胃癌组织 miR-17 表达增加、miR-490-3p 表达降低, 与患者较差临床病理参数和不良预后有关, 监测癌组织 miR-17、miR-490-3p 表达可能有利于患者的预后判断。

关键词: 胃癌; 幽门螺杆菌; microRNA-17; microRNA-490-3p; 预后; 临床病理特征

中图分类号: R735.2

文献标识码: A

Relationship of microRNA-17 and microRNA-490-3p expression with clinicopathological characteristics and prognosis in patients with *Helicobacter pylori* induced gastric cancer

Li-ping Li, Yun Jia

(Department of Internal Medicine-Oncology, Dongguan People's Hospital of Guangdong Province,
Dongguan, Guangdong, 523000, China)

Abstract: Objective To investigate the relationship between the microRNA-17 (miR-17), microRNA-490-3p (miR-490-3p) expression with the clinicopathological characteristics and prognosis in patients with *Helicobacter pylori* (Hp) induced gastric cancer. **Methods** From January 2012 to June 2014, the gastric tissue samples from the

收稿日期: 2020-12-04

[通信作者] 贾筠, E-mail: llee2117@yeah.net

Hp-positive and Hp-negative gastric cancer patients were collected, and the real time quantitative PCR (qRT-PCR) assay was used to detect the expression levels of miR-17, miR-490-3p in tissue samples. The relationships of miR-17 and miR-490-3p expression in Hp-positive gastric cancer with the clinicopathological characteristics were analyzed. The Kaplan Meier survival curve was utilized to evaluate the relationship of miR-17 and miR-490-3p expression with the 5-year overall survival rate of Hp positive gastric cancer patients. The Cox regression model was used to analyze the risk factors for prognostic of Hp positive gastric cancer patients. **Results** In the cancer tissues of Hp-positive and Hp-negative gastric cancer, the relative expression of miR-17 were higher than those in adjacent normal tissues ($P < 0.05$), the relative expression of miR-490-3p were lower than those in adjacent normal tissues ($P < 0.05$). Pearson correlation test showed that there was no significant correlation between the expression of miR-17 and miR-490-3p in gastric cancer tissue ($P > 0.05$). In Hp-positive gastric cancer tissues, there were statistical significance of the miR-17 expressions compared in different samples of patients with tumor diameter, lymph node metastasis, distance metastasis, and TNM stages ($P < 0.05$), there were statistical significance of the miR-490-3p expressions in samples of patients with different tumor diameter, lymph node metastasis, and distance metastasis ($P < 0.05$). Kaplan-Meier survival analysis showed that the 5-year overall survival rates of the miR-17 high-expression Hp-positive gastric cancer group and the miR-490-3p low-expression Hp-positive gastric cancer group were lower than those of the miR-17 low-expression Hp-positive gastric cancer group and the miR-490-3p high-expression Hp-positive gastric cancer group, respectively ($P < 0.05$). Multivariate Cox regression model suggests that, distance metastasis, high TNM stage, miR-17 high-expression, and miR-490-3p low-expression were risk factors affecting the prognosis of gastric cancer patients. **Conclusion** In HP-positive gastric cancer tissues, the miR-17 expression are increased, and miR-490-3p expression are decreased, which are related to worse clinicopathological parameters and poor prognosis. Monitoring the miR-17 and miR-490-3p expression in the cancer tissues may be useful in predicting the prognosis of patients.

Keywords: stomach neoplasms; *Helicobacter pylori*; microrna-17; microrna-490-3p; prognosis; clinicopathological characteristics

胃癌是全球最常见的消化道恶性肿瘤之一。

我国胃癌的发病率和病死率均较高，已成为威胁人民生命健康的公共卫生问题^[1]。胃炎、胃溃疡、不典型增生、癌前病变和胃癌的疾病演进过程中，幽门螺杆菌(*Helicobacter pylori*, Hp)均发挥关键作用^[2]，探讨Hp阳性胃癌的发生、发展机制，寻找新的治疗、预后预测标志物，对延长Hp阳性胃癌患者的生存时间有重要意义。

MicroRNA成为研究肿瘤靶向治疗的新方向。研究证实，胃癌发生、发展过程中涉及多种microRNA异常表达^[3]。姜双等^[4]发现胃癌组织中microRNA-17 (miR-17)呈高表达，但miR-17在Hp阳性胃癌中的表达及其与患者预后的关系研究甚少；microRNA-490-3p (miR-490-3p)作为抑癌因子，在消化系统肿瘤中发挥作用，如miR-490-3p表达降低可减弱细胞克隆形成能力、抑制细胞增殖^[5]，沉默miR-490-3p表达可促进Hp阳性胃癌的恶性进展。本研究探讨miR-17、miR-490-3p在Hp阳性胃癌组织中的表达及其与肿瘤进展、预后的关系，现报道如下。

1 资料与方法

1.1 一般资料

选取2012年1月—2014年6月东莞市人民医院收治的行手术切除的胃癌患者146例，收集其胃癌组织及癌旁组织。根据Warthin-Starry银染结果，Hp阳性胃癌患者97例(62例患者接受抗Hp治疗，35例患者未接受抗Hp治疗)，Hp阴性胃癌患者49例。Hp阳性胃癌患者中，男性62例，女性35例；年龄26~76岁，平均(49.57 ± 10.34)岁。Hp阴性胃癌患者中，男性31例，女性18例；年龄24~78岁，平均(50.42 ± 11.45)岁。Hp阳性胃癌患者与Hp阴性胃癌患者的年龄、性别等一般资料比较，差异无统计学意义($P > 0.05$)，具有可比性。本研究以患者出院为起点，对患者进行为期1~60个月随访。本研究经医院医学伦理委员会批准，患者家属签署知情同意书。纳入标准：具有完整的病历资料和随访资料，术前未接受放化疗，经病理检查确诊。排除标准：合并其他恶性肿瘤，合并糖尿病等慢性疾病。

1.2 试剂与仪器

Trizol试剂(购自美国赛默飞世尔科技公司), Applied BiosystemTM SYBRTM试剂盒(购自美国应用生物系统公司),微量紫外分光光度计(购自美国赛默飞世尔科技公司),实时荧光定量聚合酶链反应(qRT-PCR)仪(购自美国应用生物系统公司)。

1.3 qRT-PCR检测miR-17、miR-490-3p mRNA的相对表达量

切取0.1 g胃癌组织及癌旁组织的组织标本至小烧杯内,剪碎组织块后,转移至玻璃匀浆管中,上下转动研磨,充分研碎。取100 μl组织匀浆至EP管中,加入900 μl Trizol试剂,依次加入氯仿、异丙醇、无水乙醇,提取组织总RNA,微量紫外分光光度计检测RNA纯度和浓度。采用Applied BiosystemTM SYBRTM试剂盒,配制qRT-PCR反应体系,反应条件:95℃预变性20 s,95℃变性10 s;60℃退火20 s;70℃延伸10 s;共40个循环。以U6为内参。miR-17引物序列,正向:5'-GATAACAGGCAAGCTTGAGG-3',反向:5'-CTGCAAAGATTGTTTGGCGAGA-3';miR-490-3p引物序列,正向:5'-GCAAACAACCAUUCGGCUGUC-3',反向:5'-CGCAAGTCCGGACTAGGT-3';U6引物序列,正向:5'-CTCGCTTCGGCAGCAC-3',反向:5'-AACGCTTCA CGAATTGCG-3'。2^{-ΔΔCt}法计算miR-17、miR-490-3p mRNA相对表达量。重复实验3次。

1.4 统计学方法

数据分析采用SPSS 22.0统计软件。计量资料以均数±标准差($\bar{x} \pm s$)表示,比较采用t检验或方差分析;相关分析用Pearson法;Kaplan-Meier绘制生存曲线,比较采用Log-rank χ^2 检验;影响因素的分析采用多因素Cox回归模型。 $P < 0.05$ 为差异有统计学意义。

2 结果

2.1 胃癌组织和癌旁组织miR-17、miR-490-3p mRNA相对表达量比较

H_p阳性胃癌患者癌组织miR-17 mRNA相对表达量与癌旁组织比较,差异有统计学意义($P < 0.05$),癌组织高于癌旁组织;H_p阳性胃癌患者癌组织miR-490-3p mRNA相对表达量与癌旁组织比较,差异有统计学意义($P < 0.05$),癌组织低于癌

旁组织(见表1)。H_p阴性胃癌患者癌组织miR-17 mRNA相对表达量与癌旁组织比较,差异有统计学意义($P < 0.05$),癌组织高于癌旁组织;H_p阴性胃癌患者癌组织miR-490-3p mRNA相对表达量与癌旁组织比较,差异有统计学意义($P < 0.05$),癌组织低于癌旁组织(见表2)。

表1 H_p阳性胃癌患者癌组织与癌旁组织miR-17、miR-490-3p mRNA相对表达量的比较 ($n=97$, $\bar{x} \pm s$)

组别	miR-17 mRNA	miR-490-3p mRNA
癌组织	4.695 ± 1.528	0.518 ± 0.327
癌旁组织	1.642 ± 0.419	1.439 ± 0.368
t值	18.978	-18.426
P值	0.000	0.000

表2 H_p阴性胃癌患者癌组织与癌旁组织miR-17、miR-490-3p mRNA相对表达量的比较 ($n=49$, $\bar{x} \pm s$)

组别	miR-17 mRNA	miR-490-3p mRNA
癌组织	2.647 ± 1.347	0.792 ± 0.416
癌旁组织	1.724 ± 0.427	1.527 ± 0.391
t值	4.572	-9.012
P值	0.000	0.000

2.2 不同胃癌组织miR-17、miR-490-3p mRNA表达的相关性

经Pearson相关分析,在H_p阳性胃癌组织中miR-17和miR-490-3p mRNA的表达无相关性($r = -0.056$, $P = 0.585$),在H_p阴性胃癌组织中,miR-17和miR-490-3p mRNA的表达无相关性($r = -0.134$, $P = 0.360$)。见图1。

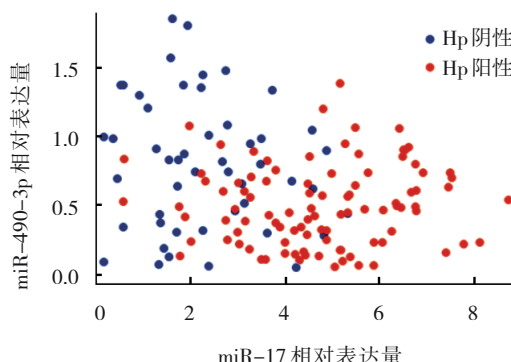


图1 H_p阳性及H_p阴性胃癌组织miR-17、miR-490-3p mRNA表达的散点图

2.3 不同临床病理特征 Hp 阳性胃癌患者癌组织 miR-17、miR-490-3p mRNA 相对表达量的比较

不同肿瘤直径、淋巴结转移、远处转移及 TNM 分期的 Hp 阳性胃癌患者癌组织 miR-17 mRNA 相对表达量比较,差异有统计学意义($P < 0.05$);不同年龄、性别、分化程度、浸润深度、病理类型的 Hp 阳性胃癌患者癌组织 miR-17 mRNA 相对表达量比较,差异无统计学意义($P > 0.05$)。不同肿瘤直径、淋巴结转移及远

处转移的 Hp 阳性胃癌患者癌组织 miR-490-3p mRNA 相对表达量比较,差异有统计学意义($P < 0.05$);不同年龄、性别、分化程度、浸润深度、病理类型、TNM 分期 Hp 阳性胃癌患者癌组织 miR-490-3p mRNA 相对表达量比较,差异无统计学意义($P > 0.05$)。见表 3。

2.4 miR-17、miR-490-3p 表达与 Hp 阳性胃癌患者生存预后的关系

以 miR-17 mRNA 相对表达量的中位数(4.249)

表 3 不同临床病理特征 Hp 阳性胃癌患者癌组织 miR-17、miR-490-3p mRNA 相对表达量的比较 ($\bar{x} \pm s$)

临床病理特征	n	miR-17 mRNA	t / F 值	P 值	miR-490-3p mRNA	t / F 值	P 值
年龄							
< 60岁	56	4.859 ± 1.628			0.571 ± 0.321		
≥ 60岁	41	4.471 ± 1.427	1.221	0.113	0.519 ± 0.331	-0.030	0.488
性别							
男	62	4.761 ± 1.729			0.531 ± 0.362		
女	35	4.578 ± 1.547	0.519	0.302	0.495 ± 0.317	0.491	0.312
肿瘤直径							
< 5 cm	49	4.324 ± 1.347			0.581 ± 0.394		
≥ 5 cm	48	5.073 ± 1.749	-2.366	0.010	0.454 ± 0.295	1.794	0.038
分化程度							
低分化	38	4.627 ± 1.476			0.522 ± 0.332		
中、高分化	59	4.739 ± 1.605	-0.346	0.365	0.515 ± 0.317	0.104	0.549
浸润深度							
黏膜下层	58	4.719 ± 1.527			0.508 ± 0.317		
浆膜层	39	4.659 ± 1.634	0.184	0.427	0.533 ± 0.328	-0.376	0.354
病理类型							
腺癌	76	4.721 ± 1.637			0.517 ± 0.329		
印戒细胞癌	19	4.624 ± 1.527	0.066	0.936	0.521 ± 0.331	0.002	0.998
黏液癌	2	4.385 ± 1.468			0.528 ± 0.308		
淋巴结转移							
是	48	5.137 ± 1.829			0.460 ± 0.302		
否	49	4.262 ± 1.507	2.574	0.006	0.575 ± 0.362	-1.697	0.046
远处转移							
是	43	5.087 ± 1.811			0.451 ± 0.311		
否	54	4.382 ± 1.479	2.111	0.019	0.571 ± 0.352	-1.755	0.041
TNM 分期							
I 、II	65	4.475 ± 1.527			0.526 ± 0.329		
III 、IV	32	5.142 ± 1.726	-1.937	0.028	0.502 ± 0.314	0.343	0.366

为界,将Hp阳性胃癌患者分为miR-17低表达Hp阳性胃癌组(48例)和miR-17高表达Hp阳性胃癌组(49例)。miR-17低表达Hp阳性胃癌组的术后5年生存率为47.92% (23/48),术后中位生存时间为40.67个月;miR-17高表达Hp阳性胃癌组的术后5年生存率为20.41% (10/49),术后中位生存时间为32.22个月。两组5年生存率比较,差异有统计学意义($\chi^2=6.225, P=0.013$)。以miR-490-3p mRNA相对表达量的中位数(0.509)为界,将Hp阳性胃癌患者分为miR-490-3p低表达Hp阳性胃癌组(48例)和miR-490-3p高表达Hp阳性胃癌组(49例)。miR-490-3p低表达Hp阳性胃癌组的术后5年生存率为20.83%(10/48),术后中位生存时间为29.42个月;miR-490-3p高表达Hp阳性胃癌组的术后5年生存率为46.94%(23/49),术后中位生存时间为42.74个月。两组5年生存率比较,差异有统计学意义($\chi^2=10.781, P=0.001$)。见图2。

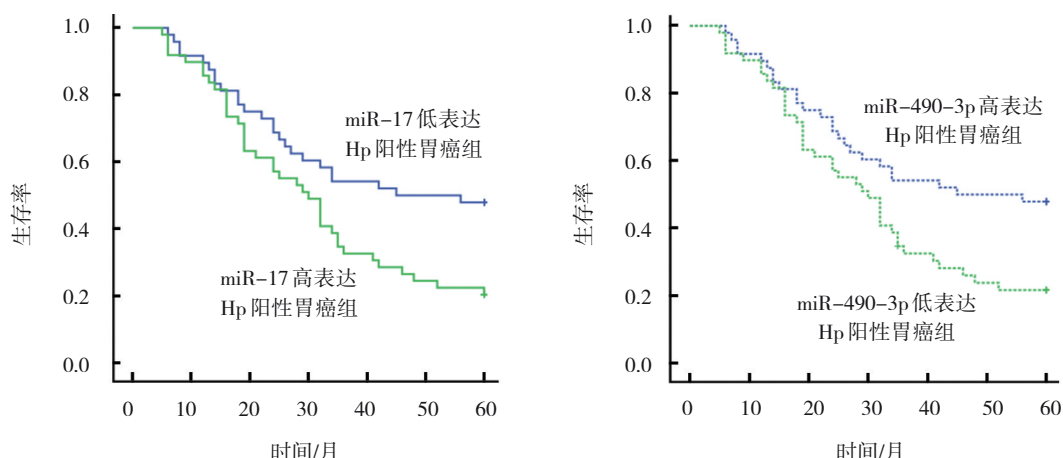


图2 不同miR-17、miR-490-3p表达Hp阳性胃癌患者的生存曲线

2.5 影响Hp阳性胃癌患者预后的危险因素

以Hp阳性胃癌患者为样本($n=97$),患者预后为因变量(死亡=1,存活=0,生存期:t),肿瘤直径、淋巴结转移、远处转移、TNM分期、miR-17表达、miR-490-3p表达为自变量,以miR-17 mRNA相对表达量的中位数(4.249)、miR-490-3p mRNA相对表达量的中位数(0.509)为界进行分层,miR-17、miR-490-3p表达转化成两分类变量,纳入多因素Cox回归模型,采用逐步后退法,以行自变量的选择和剔除($\alpha_{入}=0.05, \alpha_{出}=0.10$)。结果:有远处转移[$\hat{HR}=2.824$ (95% CI: 2.700, 2.984)]、较高的TNM分期[$\hat{HR}=1.793$ (95% CI: 1.703, 1.883)]、miR-17高表达[$\hat{HR}=2.517$ (95% CI: 2.391, 2.643)]和miR-490-3p低表达[$\hat{HR}=1.579$ (95% CI: 1.550, 1.608)]是影响Hp阳性胃癌患者预后的危险因素($P<0.05$)。见表4。

表4 Hp阳性胃癌患者预后影响因素的多因素Cox回归模型参数

自变量	赋值	b	S_b	Wald χ^2	P值	\hat{HR}	95% CI	
							下限	上限
远处转移	1=有, 0=无	0.954	0.418	10.367	0.015	2.824	2.700	2.984
TNM分期	1= I 、II , 0=III 、IV	0.574	0.349	12.348	0.009	1.793	1.703	1.883
miR-17	1=< 4.249, 0=> 4.249	0.816	0.299	6.842	0.037	2.517	2.391	2.643
miR-490-3p	1=< 0.509, 0=> 0.509	0.634	0.314	8.473	0.022	1.579	1.550	1.608

3 讨论

miR-17-92 基因簇是定位于染色体 13q31 的多顺反子 miRNA 基因，在人类肿瘤中表达最广泛，可促进细胞增殖、细胞周期进程、细胞侵袭迁移等，主要包括 miR-17、miR-18a、miR-19a、miR-19b、miR-20a、miR-92 共 6 种 miRNA^[6]。目前发现，miR-17-92 基因簇与血管异常及冠状动脉疾病相关^[7]，降低 miR-17 有助于改善血管功能^[8]，而 miR-17 高表达则会引起冠心病患者术后血管再狭窄的形成。

研究表明，胃癌患者血清 miR-17 表达升高，且过表达 miR-17 可促进胃癌细胞增殖^[9-10]。miR-17 具有作为胃癌诊断靶标的潜能^[11-12]。本研究发现 Hp 阳性胃癌患者癌组织 miR-17 mRNA 相对表达量较癌旁组织升高，且在肿瘤直径≥5 cm、有淋巴结转移、有远处转移及高 TNM 分期的 Hp 阳性胃癌患者癌组织中相对表达量升高，提示 miR-17 可能通过促进细胞增殖、侵袭加速病情恶化。ZHANG 等^[13]研究证实 miR-17 可调节 UBE2C 基因表达，参与胃癌细胞增殖调控。miR-17 通过死亡效应结构域 DNA 结合蛋白 (death effector domain DNA-binding protein, DEDD) 依赖的机制，参与胃癌细胞的上皮间质转化过程^[14]。NOORMOHAMMAD 等^[15]证实 miR-222 在 Hp 阳性及 Hp 阴性胃癌组织中的表达差异无统计学意义，提示 miR-222 表达可能与 Hp 感染无关。miR-17 表达是否与 Hp 感染有关，其具体分子机制仍需深入探究。

miR-490-3p 作为抑癌因子，能显著抑制肿瘤细胞增殖、诱导细胞凋亡^[16]，在结肠癌组织中低表达^[17]。本研究结果发现 Hp 阳性胃癌患者癌组织 miR-490-3p mRNA 相对表达量较癌旁组织降低，且在肿瘤直径≥5 cm、有淋巴结转移及有远处转移的 Hp 阳性胃癌患者癌组织中相对表达量降低，表明 miR-490-3p 在胃癌细胞增殖、侵袭转移的分子调控中发挥作用。SHEN 等^[18]的研究证实，表观沉默 miR-490-3p 可诱导 Hp 感染性胃癌形成。研究证实，Hp 可降低 miR-141 表达，进而诱发胃癌细胞化疗耐药^[19]，Hp 感染导致 miR-203 表达下降，促进胃癌细胞增殖、侵袭^[20]。笔者分析 Hp 感染可能导致 miR-490-3p 表观沉默，降低 miR-490-3p 表达，调控下游基因表达，如 AKT1 基因^[21]，进而参

与胃癌细胞增殖、侵袭等过程调控。

本研究结果发现，miR-17 高表达 Hp 阳性胃癌组及 miR-490-3p 低表达 Hp 阳性胃癌组患者的术后 5 年生存率及中位生存时间均较差，提示 miR-17 高表达、miR-490-3p 低表达均与患者不良预后有关；进一步 Cox 回归分析结果表明，miR-17 高表达、miR-490-3p 低表达是影响胃癌患者预后的危险因素，提示检测癌组织 miR-17、miR-490-3p 表达，可能有利于预测和评估患者预后。

此外，笔者分析，miR-17 与 miR-490-3p 除可能通过调控胃癌细胞增殖、侵袭迁移参与胃癌病情恶化外，可能还与患者术后化疗相关，如下调 miR-17 表达增强口腔癌细胞对奥沙利铂的化疗敏感性^[22]，miR-17 表达上调与提高套细胞淋巴瘤^[23]、非小细胞肺癌等^[24]肿瘤细胞放射抗拒相关，上调 miR-490-3p 可降低耐药蛋白表达及抑制 P-gp 活性，逆转乳腺癌细胞对阿霉素的耐药性^[25]。本研究未针对 miR-17、miR-490-3p 表达与胃癌患者术后化疗耐药性的关系进行研究，后续将继续探讨 miR-17、miR-490-3p 表达与患者术后放化疗疗效及耐药性的关系，并探究 miR-17、miR-490-3p 表达对患者术后化疗方案选择的指导作用。

综上所述，本研究发现 Hp 阳性胃癌患者癌组织 miR-17 表达增加而 miR-490-3p 表达降低，且均可能参与 Hp 阳性胃癌细胞增殖、侵袭、迁移等过程；miR-17 高表达、miR-490-3p 低表达是影响 Hp 阳性胃癌患者预后的危险因素，均与患者不良预后有关，监测癌组织 miR-17、miR-490-3p 表达可能有利于患者的预后判断。但本研究未对血清样本进行 miR-17、miR-490-3p 表达的检测，后续可做进一步研究。

参 考 文 献 :

- NIE Y, WU K, YU J, et al. A global burden of gastric cancer: the major impact of China[J]. Expert Rev Gastroenterol Hepatol, 2017, 11(7): 651-661.
- AWA A, SYED R, MATEEN A, et al. Epidemiological characterization, genetic alterations of Helicobacter pylori infection in chronic gastric disorder and prognostic values of heterozygosity loss in chromosome 3p[J]. Mol Biol Rep, 2019, 46(4): 4323-4332.
- FENG Y, SUN T, YU Y, et al. MicroRNA-370 inhibits the proliferation, invasion and EMT of gastric cancer cells by directly

- targeting PAQR4[J]. *J Pharmacol Sci*, 2018, 138(2): 96-106.
- [4] 姜双,王忠锐,杨卫国,等. miR-17在胃癌中的表达及临床意义[J].哈尔滨医科大学学报,2014(5): 399-401.
- [5] 程成,王搏,叶春祥,等.微小RNA-490-3p对结肠癌细胞生物学行为的影响[J].中华实验外科杂志,2018,35(5): 963.
- [6] ZHANG X J, LI Y L, QI P F, et al. Biology of miR-17-92 cluster and its progress in Lung cancer[J]. *Int J Med Sci*, 2018, 15(13): 1443-1448.
- [7] LIU F Q, LI R, ZHANG Y, et al. Association of plasma miR-17-92 with dyslipidemia in patients with coronary artery disease[J]. *Medicine (Baltimore)*, 2014, 93(23): e98.
- [8] 杨硕,陈静,胡琦,等.miR-17表达对内皮细胞氧化应激作用的影响[J].疑难病杂志,2015,14(11): 1173-1175.
- [9] PARK D, LEE S C, PARK J W, et al. Overexpression of miR-17 in gastric cancer is correlated with proliferation-associated oncogene amplification[J]. *Pathol Int*, 2014, 64(7): 309-314.
- [10] ZENG Q H, JIN C H, CHEN W H, et al. Downregulation of serum miR-17 and miR-106b levels in gastric cancer and benign gastric diseases[J]. *Chin J Cancer Res*, 2014, 26(6): 711-716.
- [11] ZIASARABI P, SORAYAYI S, HESARI A, et al. Circulating microRNA-133, microRNA-17 and microRNA-25 in serum and its potential diagnostic value in gastric cancer[J]. *J Cell Biochem*, 2019, 120(8): 12376-12381.
- [12] HU G F, LÜ Q W, YAN J X, et al. MicroRNA-17 as a promising diagnostic biomarker of gastric cancer: an investigation combining TCGA, GEO, meta-analysis, and bioinformatics[J]. *FEBS Open Bio*, 2018, 8(9): 1508-1523.
- [13] ZHANG Y Y, HAN T, WEI G, et al. Inhibition of microRNA-17/20a suppresses cell proliferation in gastric cancer by modulating UBE2C expression[J]. *Oncol Rep*, 2015, 33(5): 2529-2536.
- [14] WU D M, HONG X W, WANG L L, et al. MicroRNA-17 inhibition overcomes chemoresistance and suppresses epithelial-mesenchymal transition through a DEDD-dependent mechanism in gastric cancer[J]. *Int J Biochem Cell Biol*, 2018, 102(2): 59-70.
- [15] NOORMOHAMMAD M, SADEGHI S, TABATABAEIAN H, et al. Upregulation of miR-222 in both Helicobacter pylori-infected and noninfected gastric cancer patients[J]. *J Genet*, 2016, 95(4): 991-995.
- [16] 刘伟,刘华强,许国星.miR-490-3p靶向HMGA2在骨肉瘤细胞凋亡中的作用[J].临床骨科杂志,2018,21(2): 238-241.
- [17] LIU X X, HE B S, XU T, et al. miR-490-3p Functions as a tumor suppressor by inhibiting oncogene VDAC1 Expression in colorectal cancer[J]. *J Cancer*, 2018, 9(7): 1218-1230.
- [18] SHEN J, XIAO Z, WU W K, et al. Epigenetic silencing of miR-490-3p reactivates the chromatin remodeler SMARCD1 to promote Helicobacter pylori-induced gastric carcinogenesis[J]. *Cancer Res*, 2015, 75(4): 754-765.
- [19] ZHOU X Y, SU J, ZHU L, et al. Helicobacter pylori modulates cisplatin sensitivity in gastric cancer by down-regulating miR-141 expression[J]. *Helicobacter*, 2014, 19(3): 174-181.
- [20] ZHOU X Y, XU G F, YIN C Q, et al. Down-regulation of miR-203 induced by Helicobacter pylori infection promotes the proliferation and invasion of gastric cancer by targeting CASK[J]. *Oncotarget*, 2014, 5(22): 11631-11640.
- [21] YU H, SUN J Y, JIANG S C, et al. MicroRNA-490-3p regulates cell proliferation and apoptosis in gastric cancer via direct targeting of AKT1[J]. *Exp Ther Med*, 2019, 17(2): 1330-1336.
- [22] 韩瑞,张配,王尚华,等.下调microRNA-17增强奥沙利铂对口腔癌细胞诱导凋亡作用[J].中国药理学通报,2018,34(10): 1434-1439.
- [23] 江萍,王俊杰,赵勇,等.MicroRNA-17-92对人套细胞淋巴瘤细胞放射敏感性的影响[J].中华放射医学与防护杂志,2010,30(4): 403-406.
- [24] 李万祯,殷俊,李萍,等.miR-17在非小细胞肺癌放射抗拒细胞中的表达及作用研究[J].实用肿瘤学杂志,2018,32(5): 391-397.
- [25] 王晓先,孔凡君,李飞,等.miR-490-3p逆转MCF-7/ADM细胞对阿霉素耐药性的影响[J].临床肿瘤学杂志,2015(9): 780-786.

(张蕾 编辑)

本文引用格式: 李丽萍,贾筠.幽门螺杆菌感染性胃癌组织microRNA-17、microRNA-490-3p的表达及其与临床病理特征和预后的关系[J].中国现代医学杂志,2021,31(13): 23-29.

Cite this article as: LI L P, JIA Y. Relationship of microRNA-17 and microRNA-490-3p expression with clinicopathological characteristics and prognosis in patients with Helicobacter pylori induced gastric cancer[J]. China Journal of Modern Medicine, 2021, 31(13): 23-29.